

А. В. Карпов, Л. Е. Таубес

ИССЛЕДОВАНИЕ ПЕРЕХОДНЫХ РЕЖИМОВ ГИДРОТРАНСФОРМАТОРА

Существующие методы расчета переходных процессов (трогание с места, разгон, торможение, передача крутильных колебаний и т. д.) в гидромеханических трансмиссиях основаны на применении либо статических характеристик гидродинамической передачи, либо линеаризованных уравнений движения [1].

Для исследования области применения обоих методов в настоящей работе проведен расчет амплитудно-фазовых характеристик гидротрансформатора (ГТ) по нелинеаризованным уравнениям и по статической характеристике.

Для вывода уравнений движения ГТ в общем случае движения воспользуемся основными положениями струйной теории лопастных машин. Рассмотрим движение элементарного объема жидкости в межлопаточном канале (рис. 1).

Момент количества движения этого элементарного объема жидкости равен:

$$\Delta L = \rho f_m v_u R, \quad (1)$$

где ρ — плотность жидкости; f_m — площадь канала в меридиональном сечении; v_u — проекция абсолютной скорости средней струйки на направление окружной скорости.

Из треугольника скоростей находим:

$$v_u = u - v_m \operatorname{ctg} \beta,$$

где β — угол между относительной скоростью w средней струйки и направлением, обратным окружной скорости.

Подставляя в выражение (1) вместо v_u его значение, получим

$$\Delta L = \rho f_m \Delta l_m (u - v_m \operatorname{ctg} \beta) R. \quad (2)$$

Умножая обе части уравнения на число каналов z , а затем перейдя к пределу при $\Delta l_m \rightarrow 0$ и проинтегрировав от входа до вы-

хода, определим момент количества движения лопастного колеса от неравномерного вращения

$$L = \rho \int_{l_{m1}}^{l_{m2}} f_m z R (u - v_m \operatorname{ctg} \beta) dl_m. \quad (3)$$

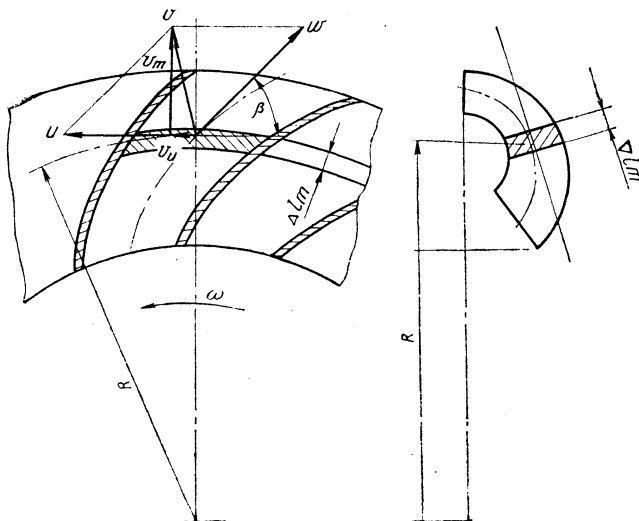


Рис. 1. Схема движения жидкости в межлопаточном канале.

Так как

$$f_m z = F_m; \quad u = \omega R; \quad v_m = \frac{Q}{F_m},$$

уравнение (3) получает вид

$$L = \rho \omega I' - \rho Q I'', \quad (4)$$

где

$$I' = \int_{l_{m1}}^{l_{m2}} F_m R^2 dl_m; \quad I'' = \int_{l_{m1}}^{l_{m2}} R \operatorname{ctg} \beta dl_m.$$

Продифференцировав выражение (4) по времени, определим крутящий момент лопастного i -го колеса

$$M_i^g = \frac{dL}{dt} = \rho \frac{d\omega_i}{dt} I_i' - \rho \frac{dQ}{dt} I_i''. \quad (5)$$

Известно, что для статических режимов уравнение крутящего момента i -го лопастного колеса с учетом отклонения потока на выходе колеса и стеснения потока имеет вид

$$M_i^{\text{ср}} = Q \rho \left[(R_{2i}^2 \mu_i \omega_i - R_{2(i-1)}^2 \mu_{i-1} \omega_{i-1}) - Q \left(\frac{R_{2i} \mu_i \text{ctg} \beta_{2i}}{F_{m2i} \kappa_{2i}} - \frac{R_{2(i-1)} \mu_{i-1} \text{ctg} \beta_{2(i-1)}}{F_{m^2(i-1)} \kappa_{2(i-1)}} \right) \right]. \quad (6)$$

Сложив уравнения (5) и (6), получим крутящий момент лопастного колеса в общем случае движения

$$M_i = M_i^{\text{ср}} + M_i^g. \quad (7)$$

Уравнение (7) позволяет определить крутящий момент лопастного колеса при известных законах изменения угловой скорости ω_i и расхода Q в круге циркуляции. Связь между переменными величинами ω_i и Q можно определить из уравнения баланса удельных энергий ГТ для общего случая движения

$$\sum_{i=1}^n H_{\text{к1}i} + \sum_{i=1}^n H_{\text{T}i} = \sum_{i=1}^n H_{\text{к2}i} + \sum_{i=1}^n H_{\text{ин}i} + \sum_{i=1}^n H_{\text{п}i}, \quad (8)$$

где $H_{\text{к1}i}$ — напор потока на входе в i -е колесо; $H_{\text{T}i}$ — теоретический напор колеса; $H_{\text{к2}i}$ — напор потока на выходе из i -го колеса; $H_{\text{ин}i}$ — инерционный напор, затрачиваемый на ускорение жидкости в i -м колесе; $H_{\text{п}i}$ — потери напора в i -м колесе; n — число рабочих колес ГТ. Поскольку для ГТ всегда имеет место соотношение $H_{\text{к2}i} = H_{\text{к1}(i+1)}$, уравнение (8) принимает вид

$$\sum_{i=1}^n H_{\text{T}i} = \sum_{i=1}^n H_{\text{ин}i} + \sum_{i=1}^n H_{\text{п}i}. \quad (9)$$

Определим величину инерционного напора $H_{\text{ин}i}$. Мощность, затрачиваемая на разгон элементарного кольцевого объема жидкости, равна

$$\Delta N_{\text{ин}} = \Delta m \frac{dv}{dt} v = \rho F_m \Delta l_m \frac{dv}{dt} v. \quad (10)$$

Из треугольника скоростей (рис. 1) получим

$$v^2 = v_m^2 + u^2 - 2uv_m \text{ctg} \beta + v_m^2 \text{ctg}^2 \beta. \quad (11)$$

Продифференцируем по времени выражение (11):

$$v \frac{dv}{dt} = v_m \frac{dv_m}{dt} + u \frac{du}{dt} - u \frac{dv_m}{dt} \operatorname{ctg} \beta - \\ - v_m \frac{du}{dt} \operatorname{ctg} \beta + v_m \frac{dv_m}{dt} \operatorname{ctg}^2 \beta. \quad (12)$$

Так как

$$\frac{du}{dt} = R \frac{d\omega}{dt}; \quad \frac{dv_m}{dt} = \frac{1}{F_m} \cdot \frac{dQ}{dt},$$

то выражение (12) принимает вид

$$v \frac{dv}{dt} = \frac{Q}{F_m^2} \cdot \frac{dQ}{dt} + \omega^2 R \frac{d\omega}{dt} - \frac{\omega R}{F_m} \cdot \frac{dQ}{dt} \operatorname{ctg} \beta - \\ - \frac{QR}{F_m} \cdot \frac{d\omega}{dt} \operatorname{ctg} \beta + \frac{Q}{F_m^2} \cdot \frac{dQ}{dt} \operatorname{ctg}^2 \beta. \quad (13)$$

Подставив вместо $v \frac{dv}{dt}$ его значение, полученное из уравнения (10), а затем перейдя к пределу и проинтегрировав от входа до выхода колеса, определим мощность, затрачиваемую на разгон жидкости лопастным колесом:

$$N_{\text{нн}i} = \int_{l_{m1}}^{l_{m2}} dN_{\text{нн}} = \rho Q \frac{dQ}{dt} \int_{l_{m1}}^{l_{m2}} \frac{1 + \operatorname{ctg}^2 \beta}{F_m} dl_m + \\ + \rho \omega_i \frac{d\omega_i}{dt} \int_{l_{m1}}^{l_{m2}} R^2 F_m dl_m - \rho \omega_i \frac{dQ}{dt} \int_{l_{m1}}^{l_{m2}} R \operatorname{ctg} \beta dl_m. \quad (14)$$

Разделив полученное уравнение на расход Q , определим инерционный напор i -го колеса

$$H_{\text{нн}i} = \frac{N_{\text{нн}i}}{Q} = \rho \frac{dQ}{dt} I_i'' + \rho \frac{\omega_i}{Q} \cdot \frac{d\omega_i}{dt} I_i' - \\ - \rho \frac{\omega_i}{Q} \cdot \frac{dQ}{dt} I_i'' - \rho \frac{d\omega_i}{dt} I_i'. \quad (15)$$

Теоретический напор лопастного колеса найдем из соотношения

$$H_{\tau i} = \frac{M_i \omega_i}{Q} = \omega_i \rho \left[(R_{2i}^2 \mu_i \omega_i - R_{2(i-1)}^2 \mu_{i-1} \omega_{i-1}) - \right. \\ \left. - Q \left(\frac{R_{2i} \mu_i \operatorname{ctg} \beta_{2i}}{F_{m2i} \kappa_{2i}} - \frac{R_{2(i-1)} \mu_{i-1} \operatorname{ctg} \beta_{2(i-1)}}{F_{m2(i-1)} \kappa_{2(i-1)}} \right) \right] + \\ + \rho \frac{\omega_i}{Q} \cdot \frac{d\omega_i}{dt} I_i' - \rho \frac{\omega_i}{Q} \cdot \frac{dQ}{dt} I_i'. \quad (16)$$

Подставив выражения для $H_{\text{ин} i}$ и $H_{\tau i}$ в уравнение баланса напоров, получим

$$\sum_{i=1}^n \left\{ \omega_i \left[(R_{2i}^2 \omega_i \mu_i - R_{2(i-1)}^2 \omega_{i-1} \mu_{i-1}) - Q \left(\frac{R_{2i} \mu_i \operatorname{ctg} \beta_{2i}}{F_{m2i} \kappa_{2i}} - \right. \right. \right. \\ \left. \left. - \frac{R_{2(i-1)} \mu_{i-1} \operatorname{ctg} \beta_{2(i-1)}}{F_{m2(i-1)} \kappa_{2(i-1)}} \right) \right] \rho - H_{\text{н} i} \right\} = \sum_{i=1}^n \rho \left(\frac{dQ}{dt} I_i'' - \frac{d\omega_i}{dt} I_i' \right). \quad (17)$$

Аналогичные уравнения движения гидротрансформатора (7) и (16) впервые вывел другим методом Ю. В. Прокофьев [2].

Уравнение баланса удельных энергий ГТ позволяет при известных законах изменения угловой скорости рабочих колес определить изменение расхода Q в круге циркуляции ГТ.

При исследовании переходных процессов в ГТ принимаем, что потери напора $\sum_{i=1}^n H_{\text{н} i}$ находятся теми же соотношениями, что и для статических режимов.

Точность расчетов по формулам (7), (16) так же, как и в случае расчета статических характеристик ГТ, определяется правильностью выбора опытных коэффициентов, входящих в уравнения для установления различного вида потерь напора.

В тех случаях, когда для исследуемого ГТ, помимо его геометрии, известна статическая характеристика, гидравлические потери можно найти более точным методом.

Из уравнений, определяющих потери на трение, на поворот, диффузорные потери и потери на удар, следует, что все виды потерь пропорциональны квадрату расхода в круге циркуляции ГТ:

$$\sum_{i=1}^n H_{\text{н} i} = K_{\text{н}} Q^2, \quad (18)$$

где

$$K_{\text{н}} = f(i_{\text{тн}}).$$

Найдем зависимость коэффициента потерь $K_{\text{п}}$ от режима $i_{\text{тн}}$. Для этого воспользуемся выражением для $\eta_{\text{гт}}$:

$$\eta_{\text{гт}} = \frac{-H_{\text{т}}}{H_{\text{н}}}.$$

Подставим в это выражение значения напоров насосного колеса $H_{\text{н}}$ и турбинного колеса $H_{\text{т}}$ для статических режимов:

$$H_{\text{н}} = \frac{\omega_{\text{н}}}{g} (B \omega_{\text{н}} - QD),$$

$$H_{\text{т}} = \frac{\omega_{\text{т}}}{g} (C \omega_{\text{т}} - B \omega_{\text{н}} - QE),$$

где

$$B = R_{2\text{н}}^2 \mu_{\text{н}}; \quad D = \frac{R_{2\text{н}} \mu_{\text{н}} \operatorname{ctg} \beta_{2\text{н}}}{F_{\text{м} 2\text{н}} \chi_{2\text{н}}} - \frac{R_{2\text{а}} \mu_{\text{а}} \operatorname{ctg} \beta_{2\text{а}}}{F_{\text{м} 2\text{а}} \chi_{2\text{а}}};$$

$$E = \frac{R_{2\text{т}} \mu_{\text{т}} \operatorname{ctg} \beta_{2\text{т}}}{F_{\text{м} 2\text{т}} \chi_{2\text{т}}} - \frac{R_{2\text{н}} \mu_{\text{н}} \operatorname{ctg} \beta_{2\text{н}}}{F_{\text{м} 2\text{н}} \chi_{2\text{н}}};$$

$$\eta_{\text{гт}} = i_{\text{тн}} \frac{B \omega_{\text{н}} + QE - C \omega_{\text{т}}}{B \omega_{\text{н}} - QD}. \quad (19)$$

Определим отсюда расход Q :

$$Q = \frac{B \omega_{\text{н}} (1 + K_{\text{гт}}) + C \omega_{\text{т}}}{DK_{\text{гт}} + E}. \quad (20)$$

Из уравнения (19) для каждого значения передаточного отношения ГТ может быть получено соответствующее значение расхода по заданному коэффициенту трансформации $K_{\text{гт}}$. Затем определяются напоры насосного и турбинного колес, напор потерь и коэффициент потерь для данного режима:

$$K_{\text{п}} = \frac{H_{\text{н}} + H_{\text{т}}}{Q^2}.$$

По изложенной выше методике был проведен расчет частотных характеристик комплексного ГТ с активным диаметром 340 мм, экспериментальная статическая характеристика которого приведена на рис. 2. При снятии частотных характеристик принималось, что турбинное колесо вращается равномерно (это соответствует случаю, когда к турбинному колесу присоединен очень

большой маховик), а на насосное колесо, момент инерции которого принят равным нулю, воздействует момент двигателя

$$M_d = M_{ст} + A \sin \nu t, \quad (21)$$

где $M_{ст}$ — момент двигателя, определенный из уравнений статики для данной угловой скорости насосного колеса при данном среднем $i_{тн}$; A — амплитуда возмущающего колебания; ν — частота возмущения.

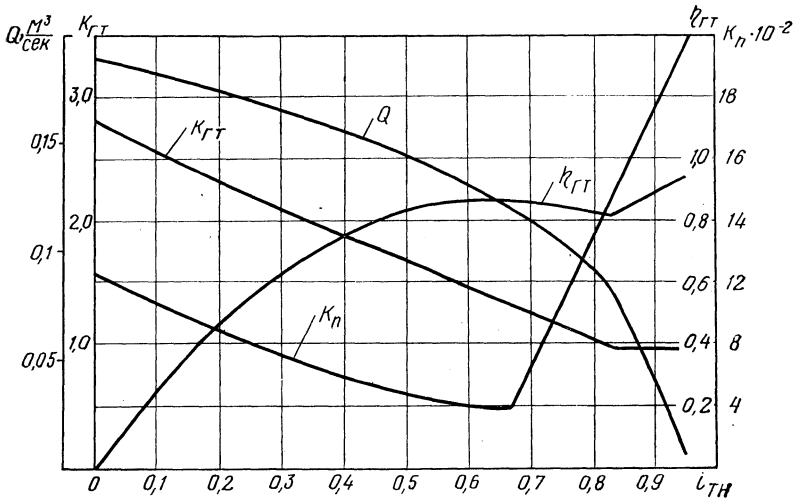


Рис. 2. Характеристики гидротрансформатора.

После подстановки числовых данных в уравнения (6), (7), (16) и элементарных преобразований получаем:

$$\begin{aligned} \dot{Q} = \frac{1}{20,693} [\omega_n(0,0247 \omega_n - 14,89Q) + \omega_t(0,0108 \omega_t - \\ - 0,0247 \omega_n - 5,76 Q)] - 0,007741 \dot{\omega}_n - K_n Q^2. \end{aligned} \quad (22)$$

Коэффициент потерь K_n определяется из графика на рис. 2.

$$\dot{\omega}_n = \frac{1}{0,000041} [0,011541 M_d - Q(0,0247 \omega_n - 14,89Q) + 0,007741 \dot{Q}], \quad (23)$$

$$M_t = 86,64 [Q(0,0108 \omega_t - 0,0247 \omega_n - 5,76 Q) + 0,004172 \dot{Q}]. \quad (24)$$

По уравнениям (20), (21), (22) и (23) была составлена блок-схема модели динамической системы ГТ (рис. 3).

Эта модель с не принципиальными изменениями может быть использована как составная часть модели трансмиссии автомобиля и трактора с целью исследования, например, динамических нагрузок в трансмиссии с прозрачным гидротрансформатором, работы буксования фрикционов и т. д.

Задача решалась на АВМ типа МНБ-1 в масштабе времени 500.

Частота колебаний и сдвиг фаз колебаний момента на турбинном колесе по отношению к возмущающим колебаниям замера-

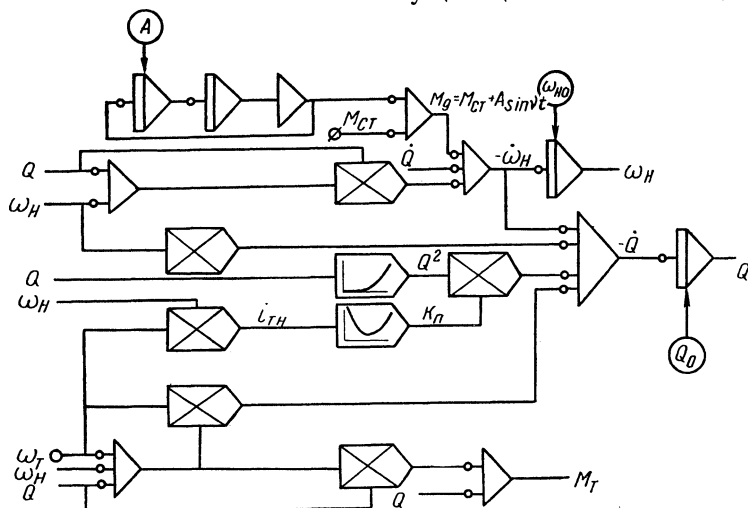


Рис. 3. Блок-схема модели гидротрансформатора.

лись при помощи инфрасчетомера — фазометра типа НФ-3М. Амплитуды колебаний замерялись непосредственно при помощи стрелочных приборов.

Для проверки точности решения этой задачи на АВМ было выполнено контрольное решение для точек $i_{TH} = 0$ и $i_{TH} = 0,4$ на ЭЦВМ «Проминь-М» по методу Эйлера.

Полученные амплитудно-частотные и фазочастотные характеристики представлены на рис. 4 (сплошные линии).

Для выяснения влияния колебаний расхода на амплитудно-частотную характеристику была решена система уравнений, не учитывающих инерцию потока жидкости в круге циркуляции, с учетом только вращающегося жидкостного маховика:

$$\omega_H (0,0247 \omega_H - 14,89 Q) + \omega_T (0,0108 \omega_T - 0,0247 \omega_H - 5,76 Q) - 0,007741 \dot{\omega}_H - K_n Q^2 = 0. \quad (22')$$

$$\omega_H = \frac{1}{0,000041} [0,011541 M_D - Q (0,0247 \omega_H - 14,89 Q)]. \quad (23')$$

$$M_T = 86,64 Q(0,0108 \omega_T - 0,0247 \omega_H - 5,76 Q). \quad (24')$$

Результаты решения представлены на рис. 4 (штриховые линии).

При исследовании частотных характеристик для каждого значения передаточного отношения i_{TH} предварительно устанавливалась область линейности. Для этого вначале задавались возмущающие колебания с малой амплитудой крутящего момента, но постепенно амплитуда колебаний увеличивалась до тех пор, пока выходные колебания крутящего момента (на валу турбины) не

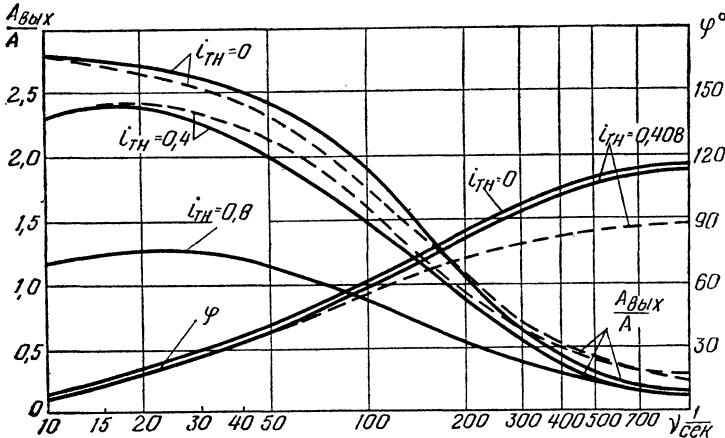


Рис. 4. Частотные характеристики гидротрансформатора: штриховая линия — статическая модель; сплошная — динамическая модель.

принимали форму, значительно отличающуюся от гармонической. Оказалось, что для режима «стоп» ($i_{TH} = 0$) линейность соблюдается вплоть до значений амплитуд колебаний, равных величине $0,5 M_{CT}$. Для остальных режимов область линейности ограничивается значениями амплитуд $0,1—0,2 M_{CT}$, причем нижний предел относится к большим передаточным отношениям.

Сопоставление результатов расчета на АВМ и ЦВМ показывает, что погрешность АВМ для амплитуды не превышает 7%, а для фазы — 8%.

Сравнение результатов, полученных по статической и динамической характеристике показывает, что в области колебаний с частотами $10—200$ 1/сек оба метода расчета дают близкие значения: для отношения амплитуд моментов на выходе и входе разница составляет не более 8%, а для угла сдвига фаз — не более 15%. По мере увеличения частоты колебаний это различие увеличивается: для частоты колебаний 1000 1/сек расчет по статической характеристике дает отношение амплитуд в 2 раза больше, а угол сдвига на 20% меньше по сравнению с расчетом по уравнениям динамики.

По результатам расчета можно сделать вывод о том, что при моделировании разгонных режимов можно ограничиваться использованием статической характеристики, а для уточненных расчетов демпфирующих свойств ГТ в сложной динамической системе автомобиля или трактора и для определения работы буксования фрикционных муфт следует пользоваться более сложными уравнениями динамики.

Л и т е р а т у р а

- [1] *Ishihara T., Emori R.* Torque convertor as a damper and its transien characteristics. „SAE Preprints“, s. a. N 660368. [2] *Прокофьев Ю. В.* Баланс энергии гидротрансформатора на неустановившихся режимах работы.—Труды ВИГМ. М., 1963, вып. 32.